

グラビア

(1) 日本海溝・千島海溝周辺の海溝型地震に関する調査研究

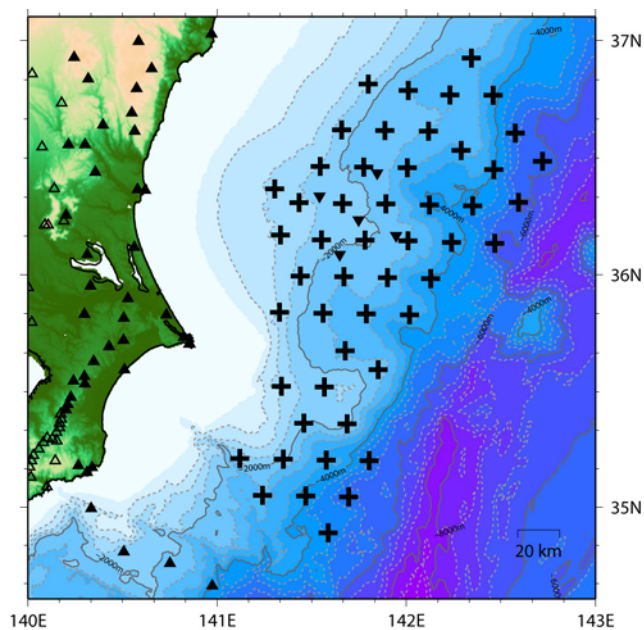
(1) (a) 日本海溝・千島海溝周辺におけるより正確な地震活動を把握するための海底地震観測研究

(1) (a) 1) より正確な地震活動を把握するための海底地震観測研究

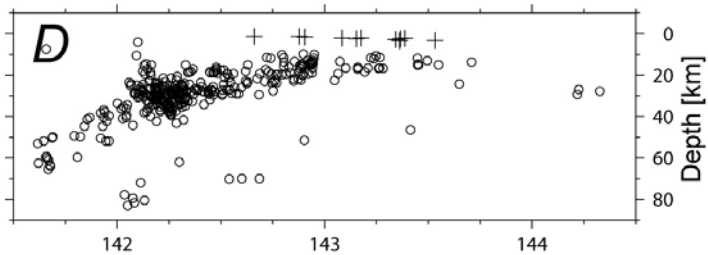
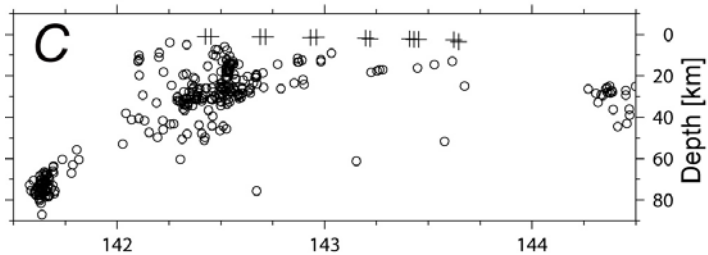
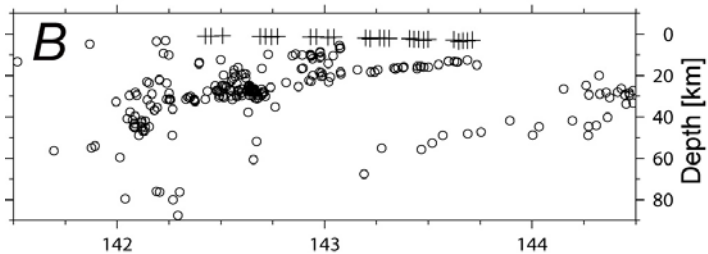
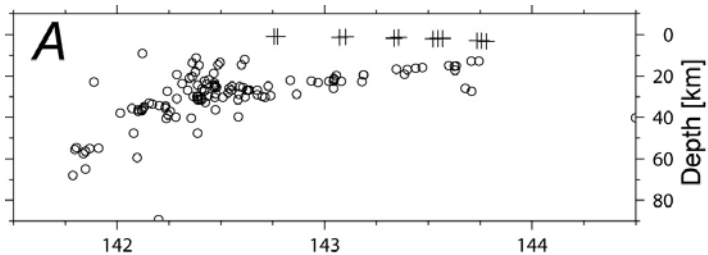
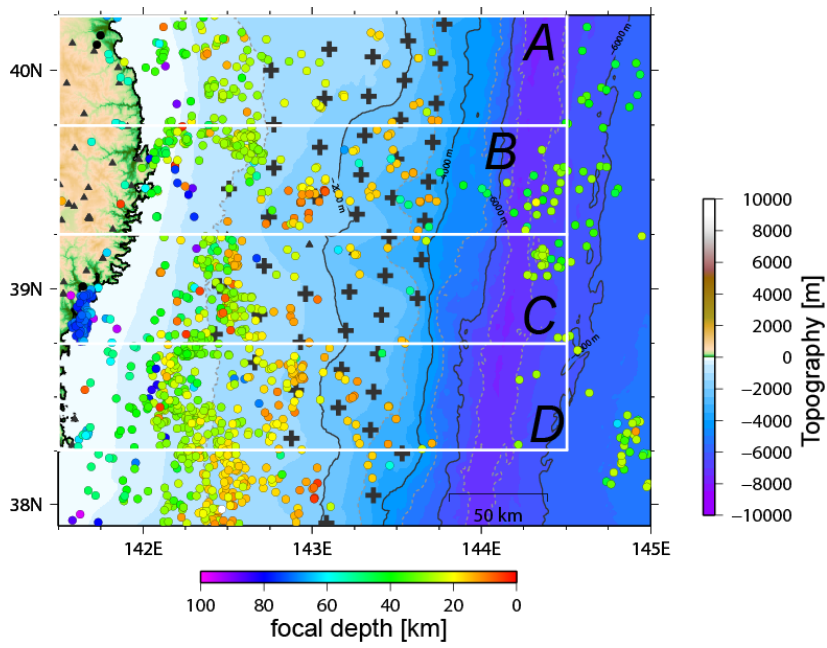
(3. 1. 1. 1. 参照)



約1年間の海底地震観測後に三陸沖南部から福島沖北部の領域から回収された長期観測型海底地震計群（平成20年6月）



福島県から房総半島沖にかけて平成20年度に構築した長期観測型海底地震計による地震観測網

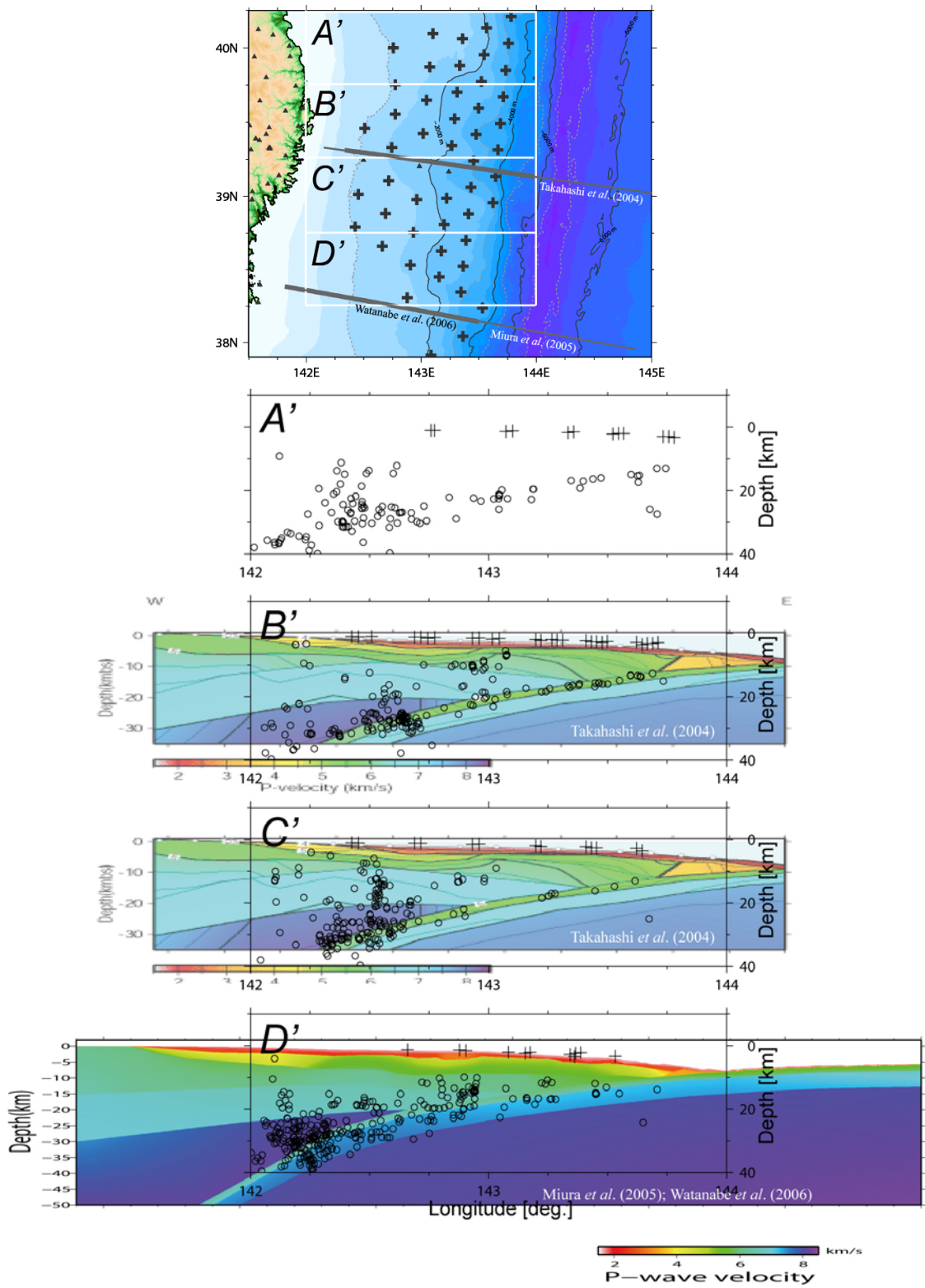


長期海底地震観測で求めた三陸-福島沖の地震活動

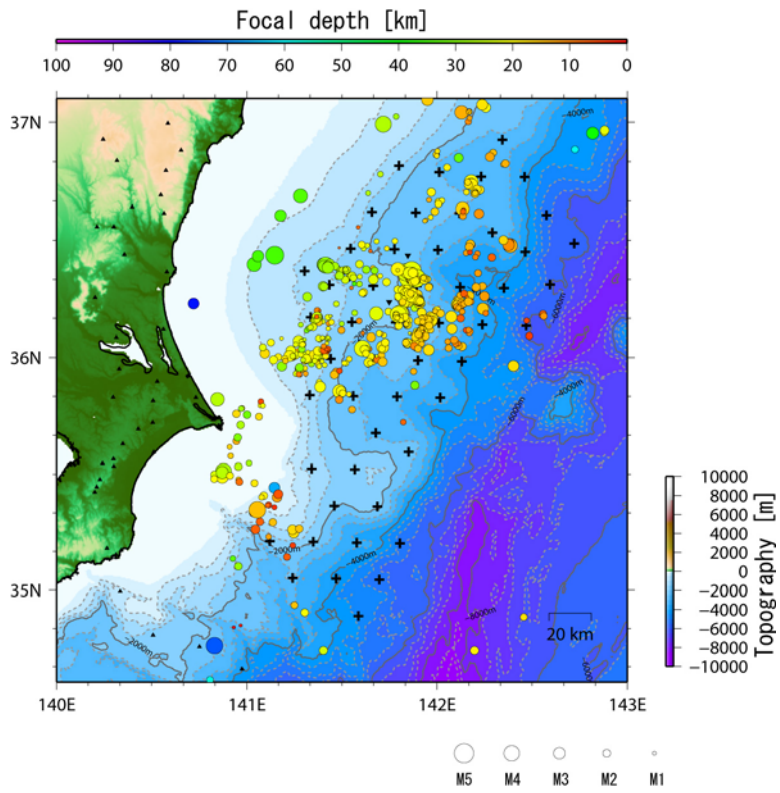
上図：震央の分布

左図：震源深さの分布

上図枠内にある震源毎に表示

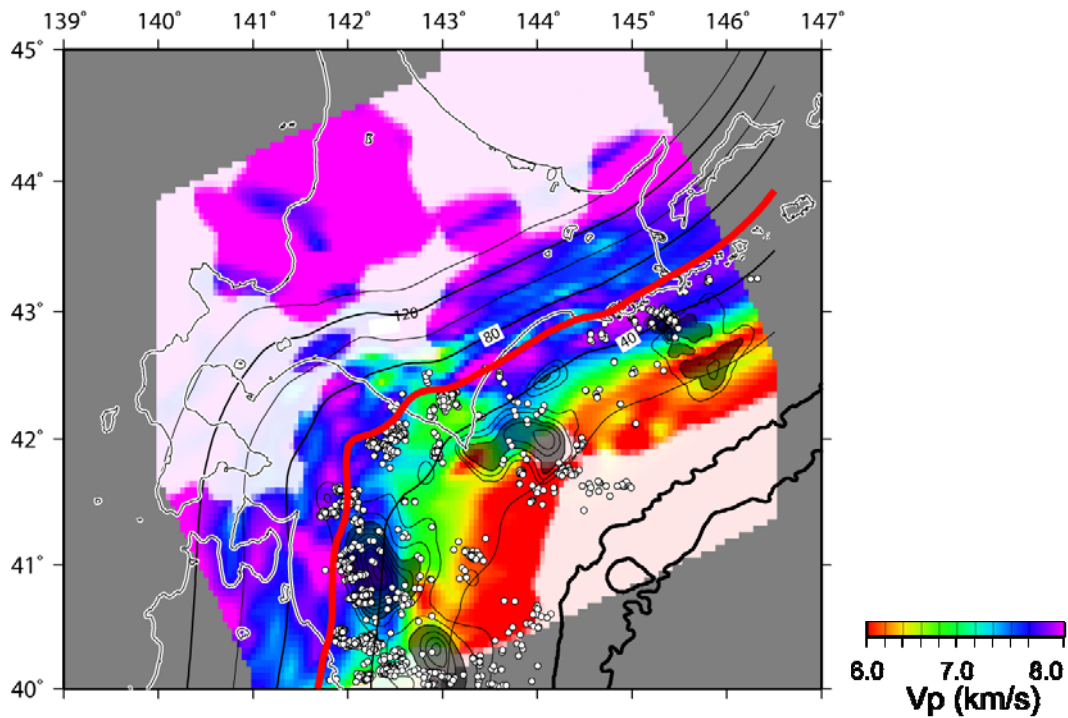


長期海底地震観測による三陸-福島沖における地震活動と二次元P波速度構造との対比

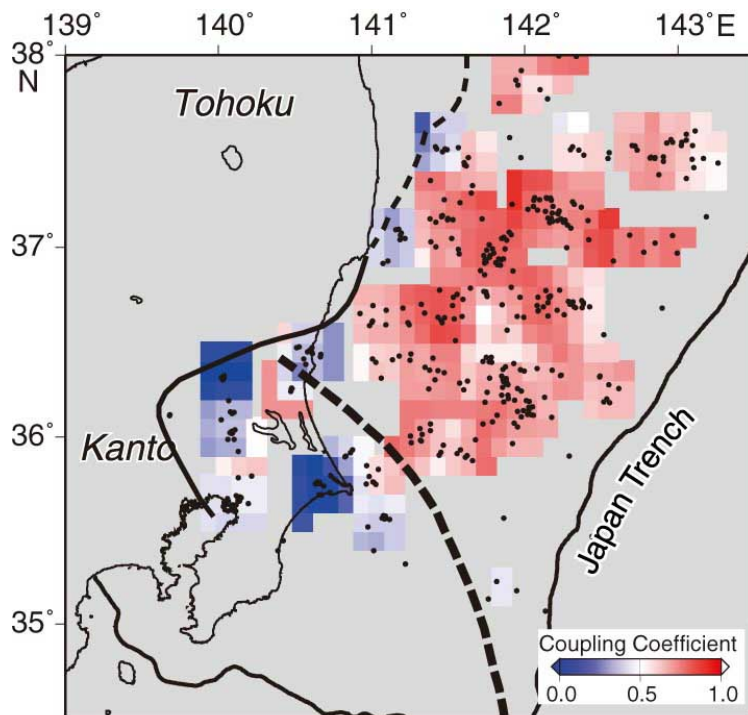


平成 20 年度実施の長期観測型海底地震計を用いた観測から求められた福島-房総半島沖の地震活動

(1) (a) 2) プレート境界及びその周辺域の 3 次元地殻不均質構造の推定
 (3. 1. 1. 2. 参照)



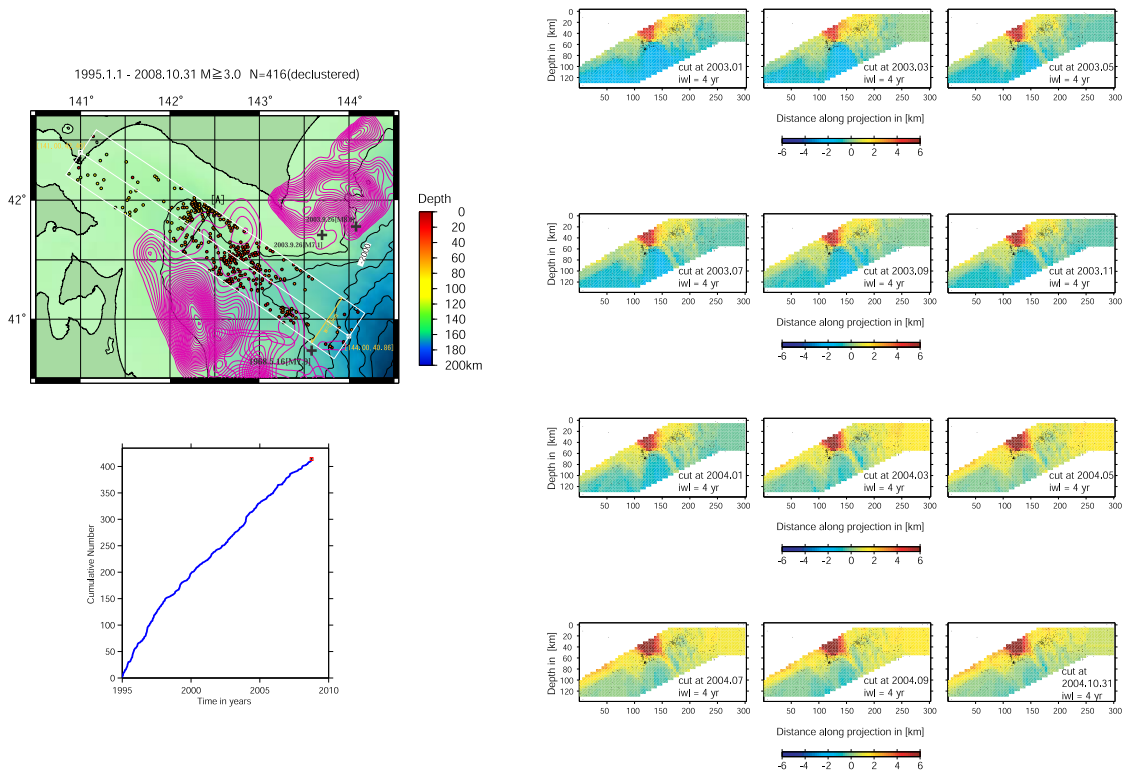
北海道から東北日本北部にかけてのプレート境界直上における P 波速度分布と、プレート間大地震の震源域および相似地震の震央分布



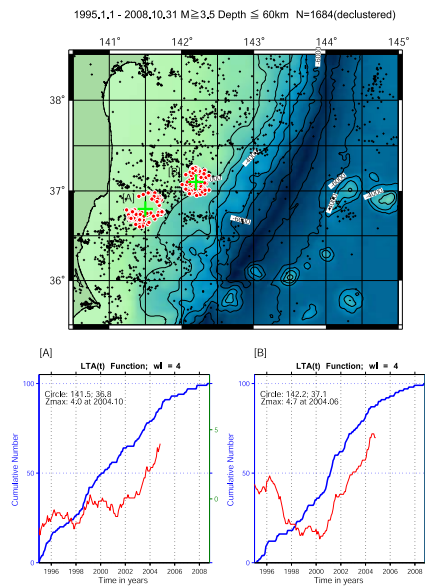
東北日本弧最南部での太平洋プレート上のカップリング率の分布

(1) (a) 3) アスペリティ周辺の地震活動の特性に関する研究

(3. 1. 1. 3. 参照)



三陸沖北部の ZMAP

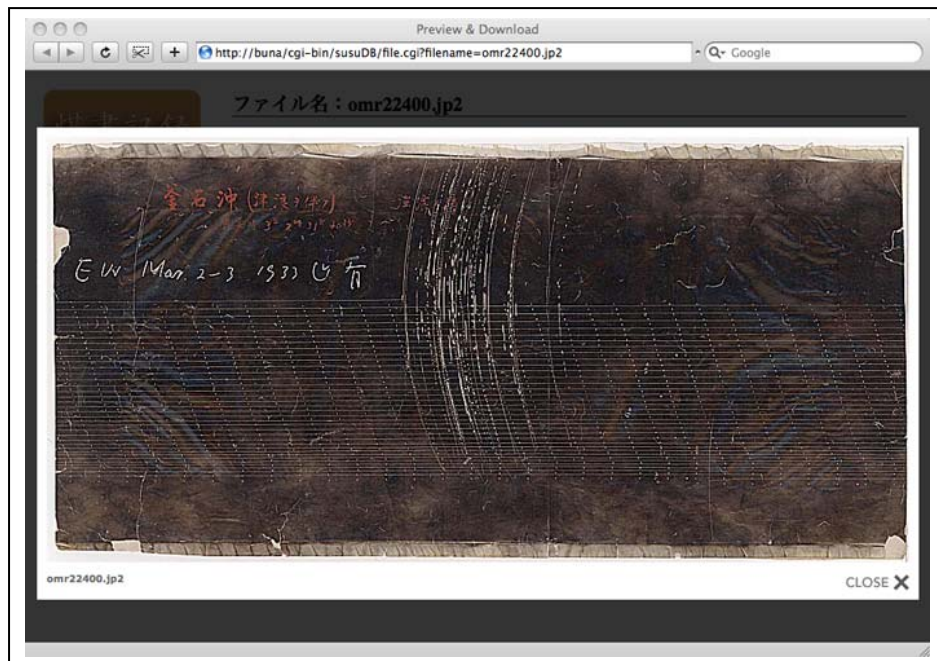


福島県沖および房総沖での最近の ZMAP

- (1) (b) 過去の地震活動などの調査
 (3. 1. 2. 参照)

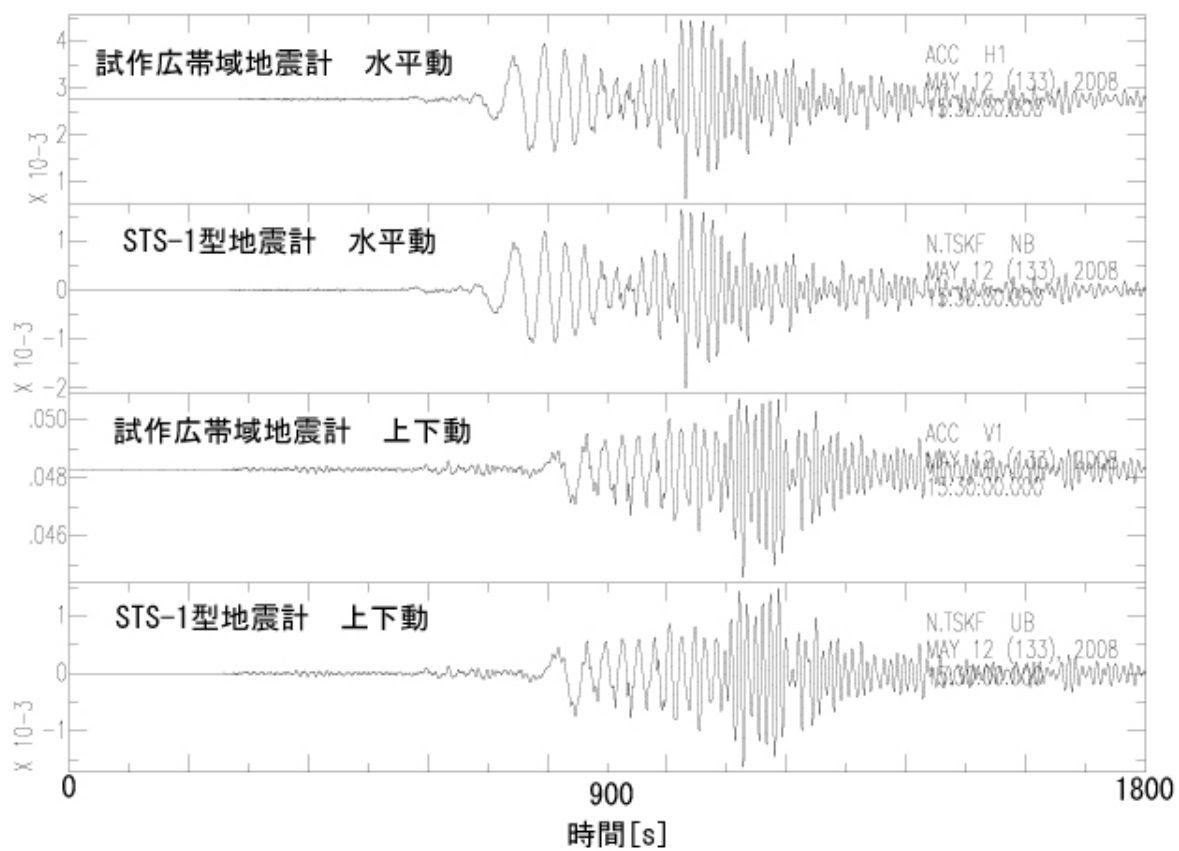


データベースシステムのトップページ



スキャン画像の表示例

- (1)(c) 広帯域高ダイナミックレンジ孔井式地震計の開発
(3. 1. 3. 参照)



四川地震（2008年5月12日）による地震波形